Том 88 1989 №5

УДК 541.128+546.57+546.174

ФИЗИЧЕСКАЯ ХИМИЯ

А. А. Мурадян, Т. А. Гарибян, Р. С. Асатрян

Вытеснение свободными аллильными радикалами фрагмента NO₂ с поверхности нанесенного на пемзу AgNO₃

(Представлено чл.-корр. АН Армянской ССР И. А. Варданян 26/Х 1988)

Вопрос о стабилизации комплексов нонов металла с радикалом может быть решен, если такая стабилизация сопровождается выбросом парамагнитного продукта при замещении лиганда. В данной работе это явление обнаружено при взаимодействии свободных аллильных радикалов с нанесенным на пемзу интратом серебра.

Эксперименты проводили в потоке при P=0.05 торр с использованием кинетического метода вымораживания радикалов с ЭПР (¹). Катализатор 40%-ный AgNO₃/пемза (предшественник промышленного катализатора Ag/пемза) прокаливали в реакторе при 500°С под вакуумом до тех пор, пока не переставал регистрироваться в узле вымораживания при—196°С радикал NO₂ в матрице H₂O (²), десорбирующийся с ловерхности катализатора в ходе термообработки.

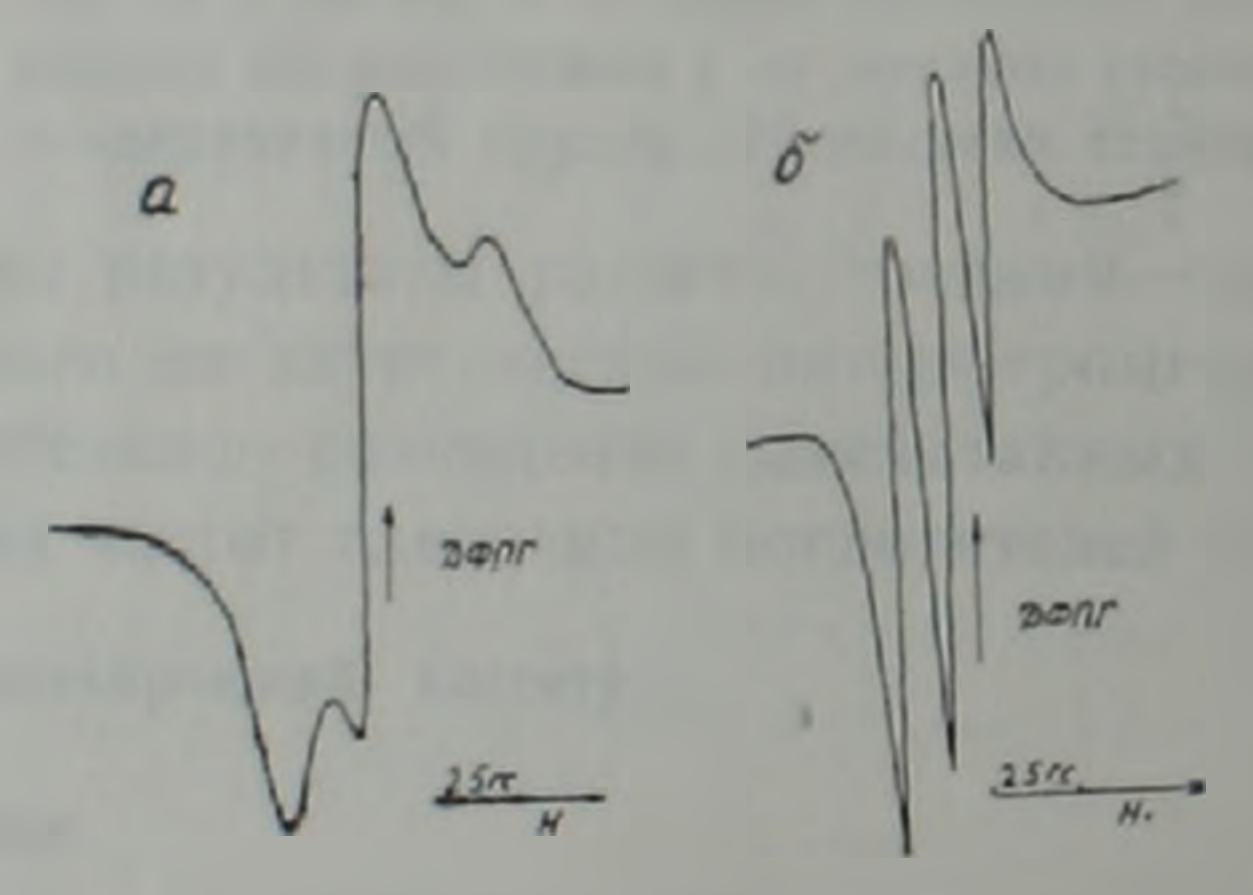


Рис. 1. Спектры ЭПР радикалов NO₂, полученных при взаимодействии аллильных радикалов с поверхностью 40% AgO₃/пемзе, при P=0,05 торр и T=83°C: а—записанный при—196°C в узлевымораживания; б—при—173°C

Катализатор частично восстанавливался. Затем температуру реактора снижали до 83°С и изучали взаимодействие аллильных радикалов и непрореагировавшего диаллила, поступающих из пиролизера, где поддерживалась температура 620°С, с катализатором. Диаллил предварительно глубоко очищали от кислорода (1). Все аллильные радикалы захватывались катализатором при 83°С, а в узле вымораживания снова регистрировался спектр ЭПР радикалов NO₂ (рис. 1, а) ромбическую 224

аннзотропию которого удалось разрешить повышением температуры в узле вымораживания до $T=-173^{\circ}$ С. При этом был записан спектр ЭПР с карактерной константой СТС на N° , a=14.5 Гс (рис. 1.6). Количест во обнаруженных NO_2 соизмеримо с количеством поступающих из пиролизера радикалов. Снижение температуры реактора с катализатором до комнатной приводило к отсутствию взаимодействия аллильных радикалов с восстановленным катализатором. В узле вымораживания записывался спектр ЭПР аллильных радикалов, поступающих из пиролизера.

При увеличении температуры катализатора до 300°С без подачи аллильных радикалов и диаллила десорбции NO₂ не наблюдалось. Последние сразу обнаруживались в узле вымораживания при взаимодействии аллильных радикалов и диаллила с катализатором. При температуре 300°С количество накопленных радикалов NO₂, вытесненных аллильными радикалами, через некоторое время накопления достигало постоянного значения, после чего в узле вымораживания начинали регистрироваться аллильные радикалы.

Реокисление катализатора при T=400°C кислородом, с откачкой при T=150°C, приводило к захвату аллильных радикалов катализатором при этой температуре. По мере восстановления катализаторо при T=150°C в токе аллильных радикалов захват радикалов прекращался и в узле вымораживания регистрировался их спектр ЭПР. Позторно реокисленный катализатор при T=400°C при отключенном пиролизере, начиная с 30-ой минуты взаимодействия катализатора с диаллилом, сам генерировал аллильные радикалы при этой температуре (рис. 2). Подобное явление было обнружено при взаимодействии аллильных радикалов и диаллила с восстановленными ZnO и Ві2О3 (4).

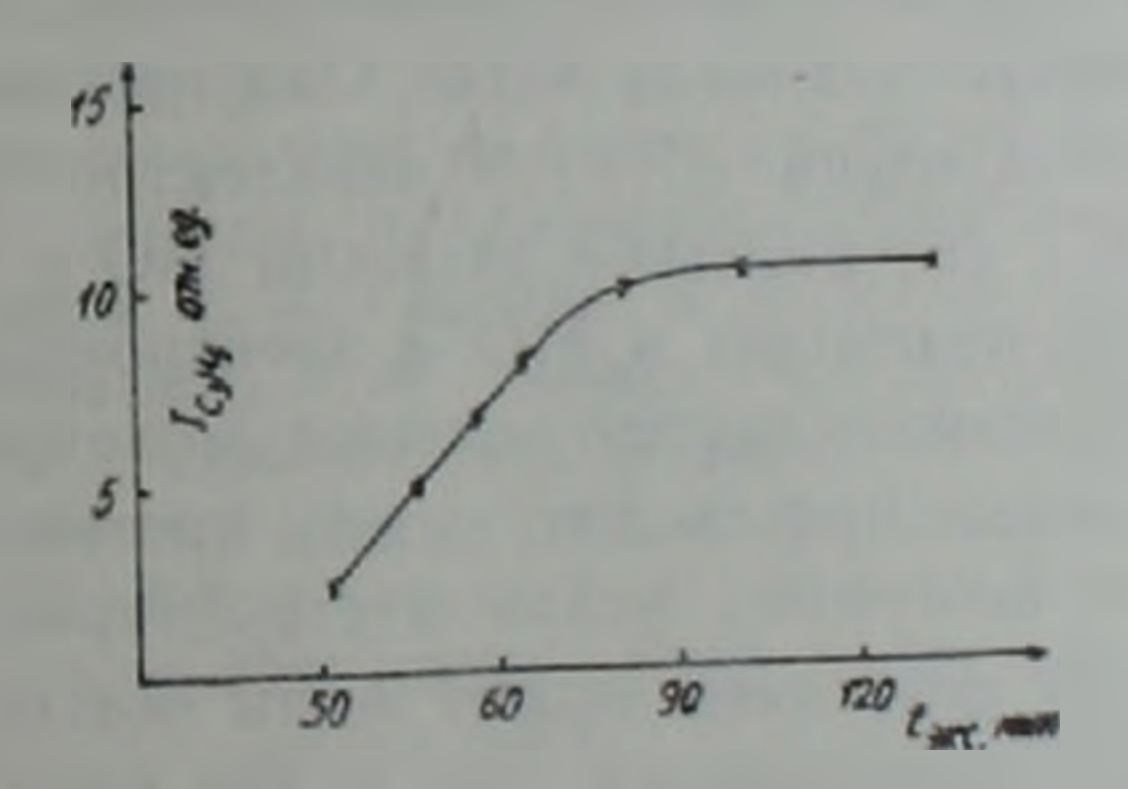


Рис. 2. Изменение количества радикалов при распаде диаллила при 400°С со временем эксперимента Каждая точка кривой—количество радикалов за 10 мин накопления в узле вымораживания

Факт, что при 500° С, когда происходит активное термическое разложение $AgNO_3$, дополнительное введение в систему радикалов C_3H_5 сильно ускоряет процесс, позволяет предположить, что промежуточная хемосорбция NO_2 на других центрах подложки и их дальнейшее вытеснение не является доминирующей стадией реакции.

Соизмеримость количества обнаруженных NO2 и поступающих ал-

лильных радикалов при более низких температурах также свидетельствует о синхронности процесса замещения. По-видимому, при термообработке увеличивается доступность связанного NO2 и (или) формируется его определенное электронное и энергетическое состояние, способствующее вытеснению. С другой стороны, осуществление процесса замещения требует преодоления определенного активационного барьера или пороговой энергии реагентов (нагрев системы до 83°С). Первоначальное формирование адсорбированного радикального комплекса типа C₃H₅...[S]...NO₂, где [S]—активный центр поверхности, может благоприятствовать (наряду с одноактным процессом) орбитальному резонансу с другим радикалом C₃H₅. Последнее вытекает по аналогии с молекулярным адсорбционным замещением молекулы воды алифатическими спиртами (5-7).

Для проверки некоторых из этих предположений проведены предварительные модельные расчеты в рамках неограниченного метода Хартри—Фока в базисе STO—3G. Анализ орбитального состава показал, что, как и следовало ожидать, при переходе от радикала C_3H_5 к NO_2 вследствие увеличения кулоновских интегралов скелетных атомов уменьшаются энергии молекулярных орбиталей (MO). С другой стороны, оказалось, что группа из четырех орбиталей радикала C_3H_5 имеет близкое значение энергии с четверкой орбиталей MeNO3. Хотя и атом Ag^0 имеет d-электронный уровень, но за связывание практически отвечают S^1 -электроны (см., например, (8)). Исходя из этого, на первом этапе центр [S] смоделирован радикалом LiO. Характерно, что именно последний отвечает за связывание разрывающейся в процессе вытеснения MeO— NO_2 .

Обращает на себя внимание топологическое сходство вытесняемого NO_2 и налетающего радикала C_3H_5 Они изосимметричны (оба принадлежат к точечной группе C_2v) и изоэлектронны. При мысленном слиянии атомов H с углеродными атомами MO и электронные состочния радикала C_3H_5 переходят в MO и электронные состояния NO_2 . С другой стороны вышеупомянутый процесс молекулярного адсорбционного замещения также происходит между системами (во всяком случае реакционными центрами) угловой структуры. Следовательно, наличие орбитального резонанса может быть общим явлением как для систем с закрытой оболочкой $\binom{7}{2}$, так и для парамагнитных частии.

Из детальных теоретических расчетов поверхности потенциальной энергии модельных радикальных реакций известно (см., например, обзор (10)), что в газовой фазе вытеснение функциональных групп может протекать лишь при больших трансляционных энергиях реагентов. В то же время из данных настоящей работы следует, что оно может легко протекать и в конденсированной фазе. Наряду с резонансным механизмом процессу может содействовать дополнительная поляризация интрата подложкой* (в частности поверхностными кислородными и ОН-центром) с переносом электронной плотности на фрагмент NO2 с образованием биполярного активного центра. Атака радикалом, по

^{*} Возмущение МО субстрата может уменьшить дефект резонанса и увеличить сечение реакции. Численную оценку такого явлечия предстоит провести.

аналогии с процессами радикального дезаминирования и декарбоксилирования цвиттерионного субстрата (11), может приводить к переносу электрона на НВМО радикала и денитрированию поверхности

Авторы благодарят А. Я. Розовского и Р. Ф. Ануфриенко за полез-

ные обсуждения.

Институт химической физики Академии наук Армянской ССР

Ա. Ա. ՄՈՒՐԱԴՅԱՆ, Թ. Ա. ՂԱՐԻՐՅԱՆ, Ռ. Ս. ԱՍԱՏՐՅԱՆ

Ա<mark>ւծաթի նիտւատով նե</mark>ւծծված պեմզայի մակեւևույթից NO₂ ֆւագմենտնեւի դոււս մղումը ազատ ալիլային ռադիկալնեւով

Ռադիկալների և մետաղների իոնների առաջացրած կոմպլեքսային միացությունների կայունացման Հարցը կարելի է լուծել, եթե լիգանդի փոխանակումը ուղեկցվում է պարամագնետիկ վերջնանյութի արտանետումով։ Ներկայացված աշխատանքում այդ երևույթը նկատվել է մակերեսի վրա նստեցրած արծաթի նիտրատի և ալիլային ռադիկալների փոխազդեցության ժամանակ։ Մոդելային քվանտա-քիմիական հաշվարկների միջոցով առաջարկվել է օրբիներում փոխազդող C₃H₅ և դուրս մղվող NO₂ ռադիկալների տոպոլոգիական

ЛИТЕРАТУРА— ЪГЦЧЦЪПЬ РЗПЬЪ

1 А. Б. Налбандян, А. А. Манташян. Элементарные процессы в медленных газофазных реакциях, Изд-во АН АрмССР, Ереван, 1975. ² А. А. Мигадуап, К. G. Ga, zaryan, Т. А. Garibyan e. a., Oxid. commun., v. 5, № 3, 4, р. 463 (1983). ³ П. Эткинс, М. Саймонс, Спектры ЭПР и строение пеорганических рядикалов, Мир, М., 1970. ⁴ А. А. Мурадян, Т. А. Гарибян, А. Б. Налбандян, Кигетика и катализ № 5, 1988. ⁵ В. В. Садовников, А. М. Гефтер, Изв. АН СССР. Сер. хим., № 6, с. 1220—1227 (1976). ⁶ А. Я. Гозовский, Л. А. Витнова. В. Ф. Третьякова и др. Кин и кат. т. 23. № 6, с. 1407—1412 (1982). ⁷ Ю. А. Колбановский, С. Г. Гагарин. ДАН СССР, т. 278, № 3, с. 669—672 (1984). ⁸ G. А. Охіп, Н. Нивет, D. Mintosh e. a., 1-Атег. Сhem. S)с., v. 101, р. 3504 (1979). ⁹ Ю. А. Колбановский, С. Г. Гагарин, Кин., и кат., т. 29, вып. 1. с. 88—93 (1988). ¹⁰ Р. С. Агатрян, Гезкинонные способности органических ссединений, Тарту, 1987. ¹¹ Р. С. Агатрян, Гезкинонные способности органических ссединений, Тарту, 1987. ¹¹ Р. С. Агатрян, Гезкинонные способности органических ссединений, Тарту, 1987. ¹¹ Р. С. Агатрян, Гезкинонные способности органических ссединений, Тарту, 1987. ¹¹ Р. С. Агатрян, Гезкинонные способности органических ссединений, Парту, 1987. ¹¹ Р. С. Агатрян, Гезкинонные способности органических ссединений, Парту, 1987. ¹¹ Р. С. Агатрян, Гезкинонные способности органических ссединений, Парту, 1987. ¹¹ Р. С. Агатрян, Гезкинонные способности органических ссединений, Парту, 1987. ¹¹ Р. С. Агатрян, Гезкинонные способности органических ссединений, Парту, 1987. ¹² Р. С. 121—122, 1985.